

中・高圧下での砂質土の圧縮・せん断特性(その1)

鹿児島大学工学部 学生員 富田 信之
 鹿児島大学工学部 春山 元寿
 鹿児島大学工学部 正員 北村 良介
 鹿児島大学工学部 学生員 森園 隆

1. まえがき

当研究室では地盤材料、特に、砂質土と粘性土の力学特性の統一的な把握をめざし、広範囲な圧力下での三軸実験を行い、実験的な考察を加えてきている^{1), 2), 3)}。本報告は、これらの一連の研究に属し、今回は、豊浦砂を用い、2~100 kgf/cm²という広範囲な圧力下での等方圧縮、膨潤実験、側圧一定排水三軸せん断実験を行っている。「その1」では実験装置、手順、および、圧縮特性について、また、「その2」ではせん断特性について述べることにする。

2. 実験装置、試料、手順

実験は、許容側圧が30 kgf/cm²と300 kgf/cm²の2つの三軸セルを用いて行う。以下記述を簡単にするため、許容側圧が30 kgf/cm²のセルによる実験をケース1、300 kgf/cm²によるものをケース2と称することとする。圧力発生源としては、一次圧約10 kgf/cm²のコンアレッサーを用い、封入圧150 kgf/cm²、容量7Lの窒素ガスボンベを用いている。なお、ケース2に用いた載荷装置は、当研究室で試作したものである。

試料は豊浦砂であり、比重2.64、 $\epsilon_{min} = 0.582$ 、 $\epsilon_{max} = 0.938$ 、均等係数1.48である。

実験は等方圧縮・膨潤実験、および、側圧一定排水三軸せん断実験からなる。表-1に実験の種類および用いた供試体の初期間隙比を示している。すなわち、ケース1では、等方圧縮過程でのくり返し載荷回数を1・5・10、ケース2では、0・1・5とし、その後、せん断実験を行っている。せん断実験はひずみ制御型であり、ひずみ速度は、ケース1では0.139%/分、ケース2では0.375%/分である。実験装置、手順に関する詳しい記述は参考文献4)を参照されたい。

表1 実験種類、結果

ケース1。

くり返し回数	側圧 kgf/cm ²	OCR	初期 間隙比	Cc	Cs		
					1回目	3,5回目	5,10回目
□	30	1.0	0.742	0.0968	—	—	—
1	2	1.5	0.752	0.0414	-0.0565*	—	—
	4	7.5	0.752	0.0676	0.0169	—	—
	6	5.0	0.751	0.0435	0.0207	—	—
	15	2.0	0.754	0.0677	-0.030*	—	—
5	2	1.5	0.766	0.1146*	0.0150	0.0150	0.0122
	4	7.5	0.801	0.1424*	0.0181	0.0181	0.0176
	6	5.0	0.751	0.0230	0.0199	0.0187	0.0189
	15	2.0	0.758	0.1300*	0.0153	0.0186	0.0189
10	2	1.5	0.761	0.0247	0.0226	0.0213	0.0209
	4	7.5	0.754	0.0234	0.0186	0.0179	0.0176
	6	5.0	0.803	0.0257	0.0200	0.0200	0.0200
	15	2.0	0.744	0.0227	0.0176	0.0166	0.0163

ケース2。

くり返し回数	側圧 kgf/cm ²	OCR	初期 間隙比	Cc	Cs		
					一回目	二回目	三回目
□	13	1.0	0.743	0.0232	—	—	—
	20	1.0	0.707	0.0332	—	—	—
	50	1.0	0.676	0.0429	—	—	—
	75	1.0	0.747	0.0686	—	—	—
1	100	1.0	0.774	0.0800	—	—	—
	13	7.0	0.779	0.0800	0.095*	—	—
	20	5.0	0.753	0.0900	0.0277	—	—
	50	2.0	0.749	0.0800	0.0283	—	—
5	75	1.0	0.720	0.0700	0.0306	—	—
	13	7.0	0.726	0.0588	0.0240	0.0243	0.0235
	20	5.0	0.771	0.0920	0.0288	0.0272	0.0270
	50	2.0	0.749	0.0456	0.0296	0.0299	0.0196
10	75	1.0	0.767	0.0560	0.0280	0.0248	0.0160

3. 圧縮特性

図3-1は、豊浦砂としらす¹⁾、²⁾における、間隙比 e と、等方圧縮、膨潤過程における載荷圧 $\log p$ の関係を示したものである。この e ~ $\log p$ 曲線で載荷初期の傾きの比較的小さい部分を亜圧縮曲線、傾きが増して一定となつた部分を正規圧密曲線と称し、その線上を正規圧密領域、それより左側にある部分を過圧密領域と称する。

●印と実線で示したものが豊浦砂の結果であり、△印¹⁾、□印²⁾と実線で示したものがしらすによるものである。図に見られるように、緩いしらすの等方圧縮過程では、載荷圧が 30 kgf/cm^2 前後で過圧密領域から正規圧密領域へと移行している。これに対し、比較的密な豊浦砂を用いた本実験では、 100 kgf/cm^2 までの載荷圧の範囲では明確な移行点を見出しきれども、しかしながら、傾向として 80 kgf/cm^2 以上で僅かながら右下がりを呈しており、三浦ら⁵⁾の実験によればその移行点での圧力は、 $200\sim 500 \text{ kgf/cm}^2$ となる。ている。

ケース1、ケース2とも、本実験から得られた、圧縮指數 C_c 、膨潤指數 C_s を表-1に示した。ここで C_c は、くり返し回数5回の実験では、1, 3, 5回目の値を、くり返し回数10回の実験では、1, 5, 10回目の C_c の値をそれぞれ示してある。なお、実験中に水洩れなどにより、ケース1、くり返し1、側圧 $2, 15 \text{ kgf/cm}^2$ 及びケース2、くり返し1、側圧 13 kgf/cm^2 の実験で C_s が、ケース1、くり返し5、側圧 $2, 4, 15 \text{ kgf/cm}^2$ の実験で C_c がそれより異常に高くなる。これは前者では膨潤過程で排水を生じ、後者では初期の低圧圧密時に排水量が異常に多かたことによるものである。その原因は現在検討中である。以下ではその値を除いて考察する。

圧縮指數 C_c の値は、 $0.02\sim 0.09$ の範囲にあり、この値は最大拘束圧に依存しており、最大拘束圧が全て 30 kgf/cm^2 であるケース1の場合、 C_c の値は $0.023\sim 0.06$ 程度であり、平均は、 $C_c = 0.039$ となる。

同様に、ケース2についても、くり返し回数1, 5回の最大拘束圧 100 kgf/cm^2 の実験では、 $0.06\sim 0.09$ と比較的一定な値となっている一方で、くり返し0回の結果からは、 C_c が拘束圧の増加とともに大きくなる傾向が明瞭に見てとれる。これらのことより、 C_c は豊浦砂では拘束圧が 100 kgf/cm^2 程度までは拘束圧に依存することがわかる。

ここで、他の C_c 値との比較をしてみると、図3-1に示したしらすの $C_c = 0.652$ ¹⁾、および $C_c = 0.556$ ²⁾、三浦ら⁵⁾による豊浦砂の $C_c = 0.373$ 、London-clay の $C_c = 0.371$ となり、すなわち、通常の土質実験で用いられる 10 kgf/cm^2 以下の拘束圧での砂質土の C_c は粘性土のそれとは異なるものと考えられる。

他方、膨潤指數 C_s については、全体にはほぼ一定な値をとつており、ケース1の平均 $C_s = 0.0183$ 、ケース2では $C_s = 0.0275$ となる。更に詳しくみると、くり返し回数を重ねる程、 C_s の値は小さくなる傾向がみられるがO.C.R.による相違は殆どみられない。

他の C_s 値と比較してみると、しらすによる C_s は、 $C_s = 0.025$ ¹⁾、 $C_s = 0.028$ ²⁾であり、三浦ら⁵⁾による豊浦砂の $C_s = 0.041$ 、London-clay の $C_s = 0.143$ である。

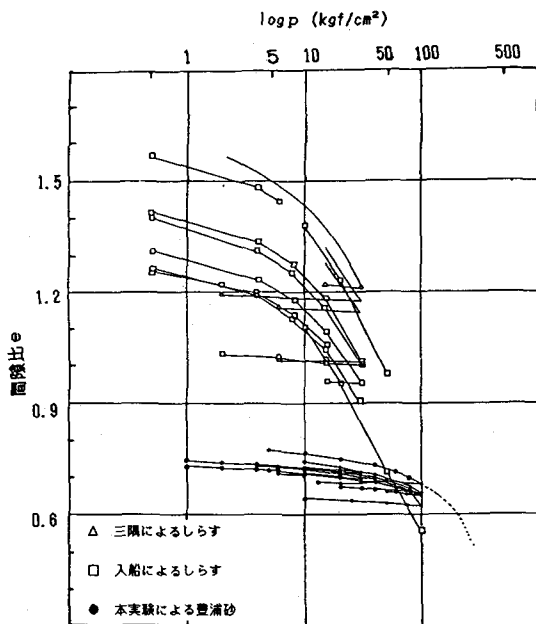


図3-1 しらすと豊浦砂の e ~ $\log p$ 関係